

**თემა 10. სიხშირულად-გამორჩევალი წრელები ზიწროზოლო-
ვანი ზემოქმედებისას**

ტიპურ სიტუაციაში, მაგალითად, მოდულირებული სიგნალების მიღებისას, სასარგებლო სიგნალი მიეწოდება სიხშირულად-გამორჩევალი ხაზოვანი ფილტრის შესასვლელზე, რომლის სპექტრალურ სიმკვრივეს აქვს მკვეთრად გამოხატული მაქსიმუმი წრედის გატარების ზოლის საზღვრებში. ამასთან, როგორც წესი, რხევითი კონტურის რეზონანსული სიხშირე ემთხვევა გადამტანი სიხშირის რხევებს (**სიმეტრიული აწყობა**).

შესასვლელი რადიოსიგნალის სპექტრი რომ ყოფილიყო მკაცრად შეზღუდული სიხშირეთა არით, რომლის საზღვრებში უცვლელი იქნებოდა ფილტრის გადაცემის სიხშირული კოეფიციენტი, მაშინ გამოსასვლელი სიგნალი იქნებოდა შესასვლელი სიგნალის მასშტაბური ასლი. მაგრამ სიხშირულად-გამორჩევალი სისტემის **სსმ** და **შსმ** გარდაუვალ არაიდეალურობას მიყვართ გამოსასვლელი სიგნალის დამახინჯებისაკენ. ქვემოთ განიხილება მეთოდი, რომელიც იძლევა საშუალებას ვიპოვოთ ვიწროზოლოვანი რხევებით აღგზებული სიხშირულად-გამორჩევალი წრელების გამოსასვლელი გამოძახილები.

10.1. ძირითადი თანაფარდობები

განვიხილოთ ნებისმიერი ვიწროზოლოვანი წრედი, რომლის გადაცემის სიხშირული კოეფიციენტი $K(j\omega)$ განსხვავებულია ნულისგან სიხშირის ღერძის $\pm\omega_0$ წერტილის გარემოში. ვივარაუდოთ, რომ შესასვლელ სიგნალი არის ვიწროზოლოვანი (კვაზიპარმონიული) რხევა სპექტრის ცენტრალური ω_0 სიხშირით. ეს ნიშნავს, რომ ფორმულაში

$$u_{\text{შეს}}(t) = \text{Re} \left[\tilde{U}_{\text{შეს}}(t) e^{j\omega_0 t} \right] \quad (2.40)$$

კომპლექსური მომვლები $\tilde{U}_{\text{შეს}}(t)$ არის გაცილებით უფრო ნელი ფუნქცია, ვიდრე $\cos \omega_0 t$ რხევა. ავლნიშნოთ შესაბამისობა სიგნალებსა და მათ სპექტრებს შორის: $u_{\text{შეს}}(t) \leftrightarrow S_{\text{შეს}}(\omega)$, $\tilde{U}_{\text{შეს}}(t) \leftrightarrow G_{\text{შეს}}(\omega)$, ამასთან (წიგნი “ელექტრული სიგნალები” თავი V, გვ.136, (5.51)) შესასვლელი სიგნალის სპექტრი და მისი კომპლექსური მომვლები შებმულნი არიან შემდეგნაირად:

$$S_{\text{შეს}}(\omega) = \frac{1}{2} G_{\text{შეს}}(\omega - \omega_0) + \frac{1}{2} G_{\text{შეს}}^*(-\omega - \omega_0)$$

აქედან, ხაზოვანი წრეების ანალიზის სპექტრალური მეთოდის გამოყენებით, მივიღებთ გამოსასვლელი სიგნალის შემდეგ გამოსახულებას (2.41):

$$u_{\text{გამ}}(t) = \frac{1}{4\pi} \int_{-\infty}^0 G_{\text{ფეს}}^* (-\omega - \omega_0) K(j\omega) e^{j\omega t} d\omega + \frac{1}{4\pi} \int_0^{\infty} G_{\text{ფეს}} (\omega - \omega_0) K(j\omega) e^{j\omega t} d\omega$$

პირველ ინტეგრალში ცვლადის $\omega = -\omega_0 - \Omega$ ჩანაცვლების შემდეგ, შევასრულოთ მისი გარდაქმნა:

$$\begin{aligned} \frac{1}{4\pi} \int_{-\infty}^0 G_{\text{ფეს}}^* (-\omega - \omega_0) K(j\omega) e^{j\omega t} d\omega &= \\ &= \left\{ \frac{1}{4\pi} \int_{-\infty}^{\infty} G_{\text{ფეს}}^* (\Omega) K(-j(\omega_0 + \Omega)) e^{j\Omega t} d\Omega \right\} e^{-j\omega_0 t}. \end{aligned} \quad (2.42)$$

ანალოგურად, $\omega = \omega_0 + \Omega$ ჩასმის გამოყენებით, გარდაექმნათ (2.41) ის მეორე ინტეგრალი:

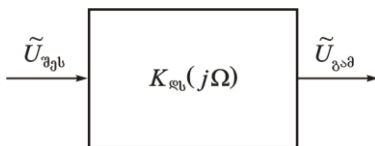
$$\begin{aligned} \frac{1}{4\pi} \int_0^{\infty} G_{\text{ფეს}} (\omega - \omega_0) K(j\omega) e^{j\omega t} d\omega &= \\ &= \left\{ \frac{1}{4\pi} \int_{-\infty}^{\infty} G_{\text{ფეს}} (\Omega) K(j(\omega_0 + \Omega)) e^{j\Omega t} d\Omega \right\} e^{j\omega_0 t}. \end{aligned} \quad (2.43)$$

შევნიშნოთ, რომ (2.42) და (2.43) გამოსახულებების მარჯვენა ნაწილები არის კომპლექსურად შეუღლებული. ამის გარდა (2.24) საფუძველზე $K[j(\omega_0 + \Omega)]$ არის ვიწროხაზოვანი წრეების რესპონსის გადაცემის სიხშირული კოეფიციენტი. ამიტომ

$$u_{\text{გამ}}(t) = \text{Re} \left\{ \left[\frac{1}{2\pi} \int_{-\infty}^{\infty} G_{\text{ფეს}} (\Omega) K_{\text{რეს}} (j\Omega) e^{j\Omega t} d\Omega \right] e^{j\omega_0 t} \right\}.$$

ამ გამოსახულებიდან ჩანს, რომ გამოსასვლელი სიგნალის კომპლექსური მომენტების სახე შეესაბამება გამოსახულებას

$$\tilde{U}_{\text{გამ}}(t) = \frac{1}{2\pi} \int_{-\infty}^{\infty} G_{\text{ფეს}} (\Omega) K_{\text{რეს}} (j\Omega) e^{j\Omega t} d\Omega. \quad (2.44)$$



მაშინ გამოსაკვლევი სისტემა შესაძლებელია წარმოვიდგინოთ ნახ.10.1-ზე მოყვანილი სახით

ნახ. 10.1

მაშასადამე, გამოსასვლელი სიგნალის კომპლექსური მომ-
ვლები წარმოადგენს დროში ნელა ცვლად რხევას სპექტრალუ-
რი სიძვრით $G_{\text{გამ}}(\Omega) = G_{\text{ფს}}(\Omega) K_{\text{ფს}}(j\Omega)$. (2.45)

სისშირულად-გამორჩევადა სისტემაში ვიწროზოლოვანი სიგ-
ნალის გავლის ამოცანის ამოსახსნელად საჭიროა დასაწყისში
ვიპოვოთ შესასვლელი კომპლექსური მომვლების ზემოქმედების
რეზულტატი საწყისი სისტემის **ფს-ეკვივალენტზე**, ხოლო შემ-
დეგ გადავიდეთ გამოსასვლელი სიგნალის პოვნაზე

$$u_{\text{გამ}}(t) = \text{Re}[\tilde{U}_{\text{გამ}}(t)e^{j\omega t}] \quad (2.46)$$

(2.44) ტოლობა შეესაბამება სისტემის გამოსასვლელი სიგ-
ნალის პოვნის სპექტრალურ მეთოდს. ტოლფასოვნად შესაძლე-
ბელია გამოყენება ცნობილი მეთოდების, მაგალითად **ოპერა-
ტორული** მეთოდის, ასევე **დუამელის ინტეგრალის** მეთოდის,
რომლის თანახმად

$$\tilde{U}_{\text{გამ}}(t) = \int_{-\infty}^t \tilde{U}_{\text{ფს}}(\tau) h_{\text{ფს}}(t-\tau) d\tau. \quad (2.47)$$

სადაც $h_{\text{ფს}}(t)$ - **ფს-ეკვივალენტის** იმპულსური მახასიათებელია

**დაბალსიხშიროვან ეკვივალენტს, განხილულს როგორც დინამიური
სისტემა, აქვს უფრო დაბალი რიგი, ვიდრე საწყისი ვიწროზოლოვან
წრედს. ამიტომ გამოსასვლელზე კომპლექსური მომვლების პოვნა წარ-
მოადგენს გაცილებით მარტივ ამოცანას.*

**10.2. ამპლიტუდურ-მოდულირებული (ამ) სიგნალის
ზემოქმედება ერთკონტურულ რეზონანსულ გამაძლიერებლებზე**

პირველ მაგალითად განვიხილოთ ამოცანა - ერთტონალური
ამ-რხევის $u_{\text{ფს}}(t) = U_0(1 + M \cos \Omega t) \cos \omega_0 t$ გასვლა ერთკონტური-
ან რეზონანსურ მაძლიერებელში გადაცემის სისშირულ კოეფი-
ციენტით

$$K(j\omega) = \frac{-K_{\text{რფს}}}{1 + j(\omega - \omega_{\text{რფს}})\tau_j}$$

შემოვიტანოთ გასამარტივებელი დაშვება -ჩავთვალოთ, რომ
რეზონანსური სიხშირე $\omega_{\text{რფს}}$ და გადამტანი რხევის ω_0 სიხშირე
ერთმანეთს ემთხვევა. ავიღოთ ეს სიხშირე საყდენ სიხშირად,
მივიღებთ შესასვლელი სიგნალის კომპლექსური მომვლებს

$$\tilde{U}_{\text{ფს}}(t) = U_0(1 + M \cos \Omega t), \quad (2.48)$$

სადაც M - მოდულაციის კოეფიციენტი.

გამაძლიერებელის **ღს-ეკვივალენტის** გადაცემის სიხშირული კოეფიციენტი იქნება

$$K_{\text{ღს}}(j\Omega) = \frac{-K_{\text{რგზ}}}{1 + j\Omega\tau_j} \quad (2.49)$$

გამოსასვლელი კომპლექსური მომვლები შეიძლება ვოპოვოთ (2.48) და (2.49), ჩვეულებრივი კომპლექსური ამპლიტუდების მეთოდის გამოყენებით, რომელიც ცნობილია წრედების თეორიიდან:

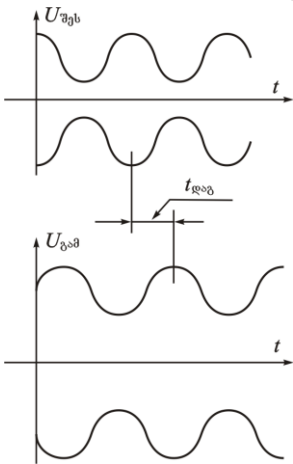
$$\tilde{U}_{\text{გამ}}(t) = -K_{\text{რგზ}} U_0 - \frac{K_{\text{რგზ}} U_0 M}{\sqrt{1 + \Omega^2 \tau_j^2}} \cos(\Omega t - \vartheta_{\Omega}),$$

სადაც **ფაზური წანაცვლება** $\vartheta_{\Omega} = \arctg \Omega \tau_j$.

კომენტარი: ამოხსნის ხერხი მარტივია იმიტომ, რომ შესასვლელი კომპლექსური მომვლები არის მუდმივი მდგენელის და პარმონიული რხევის ჯამი.

(2.46) ფორმულის გამოყენებით თუ მივიღებთ მხედველობაში, რომ კონტურის დროის მუდმივა $\tau_j = 2Q_{\text{კა}}/\omega_{\text{რგზ}}$, მაშინ გამაძლიერებელის გამოსასვლელი სიგნალი:

$$u_{\text{გამ}}(t) = -K_{\text{რგზ}} U_0 \left[1 - \frac{M}{\sqrt{1 + \xi_{\Omega}^2}} \cos(\Omega t - \vartheta_{\Omega}) \right] \cos \omega_0 t, \quad (2.50)$$



ნახ. 10.2

$t_{\text{ღს}} = \vartheta_{\Omega} / \Omega$ დროით.

სადაც $\xi_{\Omega} = 2Q_{\text{კა}}\Omega/\omega_{\text{რგზ}}$ - რხევითი კონტურის განზოგადებული აშლაა ზედა გვერდით სიხშირეზე.

მაშასადამე, რეზონანსური გამაძლიერებლის გამოსასვლელზე არსებობს რხევა, რომელიც, მომდევნო ამპლიტუდური გაძლიერებისას ინარჩუნებს **აშ-სიგნალის** ერთტონალობას. მაგრამ გამოსასვლელზე მოდულიაციის კოეფიციენტი ნაკლებია, ვიდრე

შესასვლელზე: $M_{\text{გამ}} = \frac{M}{\sqrt{1 + \xi_{\Omega}^2}}$. (2.51)

ამის გარდა, გამოსასვლელი სიგნალის მომვლები ჩამორჩება (ნახ. 10.2) შესასვლელი სიგნალის მომვლებს

მაგალითი 2.6. ამ-სივნილი პარამეტრებით: მოდულაციის კოეფიციენტი $M = 0,8$, რეზონანსული სიხშირე $\omega_0 = \omega_{რეზ} = 5 \cdot 10^6 \text{ წმ}^{-1}$, $\Omega = 3 \cdot 10^4 \text{ წმ}^{-1}$ გადის გამაძლიერებელში, რომელიც აწყობილია ვადამტან სიხშირეზე. გამაძლიერებლის კონტურის ექვივალენტური ვარგისობა $Q_{კვ} = 75$. იპოვეთ $M_{გამ}$ და $t_{ლაგ}$.

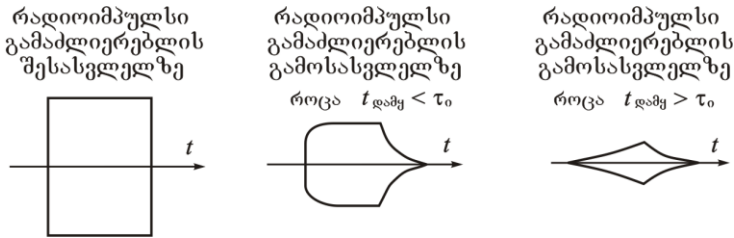
ამოხსნა: რხევითი კონტურის განზოგადებული აშლა ზედა გვერდით სიხშირეზე $\xi_{\Omega} = 2 \cdot Q_{კვ} \cdot \Omega / \omega_0 = 2 \cdot 75 \cdot 3 \cdot 10^4 / 5 \cdot 10^6 = 0,9$, აქედან

$$\text{ფორმულით } M_{გამ} = \frac{M}{\sqrt{1 + \xi_{\Omega}^2}} \quad \text{კპოულობთ } M_{გამ} = \frac{0,8}{\sqrt{1 + 0,81}} = 0,59.$$

ამრიგად, ადგილი აქვს მოდულაციის სიდრმის საგძნობ შემცირებას. ვინაიდან ფაზური წანაცვლება განისაზღვრება $\theta_{\Omega} = \arctg \Omega \tau_{კ}$, ხოლო $\tau_{კ} = 2Q_{კვ} / \omega_{რეზ} = 2 \cdot 75 / 5 \cdot 10^6$, მაშინ $\theta_{\Omega} = \arctg 0,9 = 0,733$ რად და მოვლების $t_{ლაგ}$ დაყოვნება შეადგენს $t_{ლაგ} = \theta_{\Omega} / \Omega = 0,733 / (3 \cdot 10^4) = 24 \text{ მკწმ}$.

10.3. ჰარმონიული ემპ-ის ჩართვის იმპულსის ზემოქმედება რეზონანსულ გამაძლიერებელზე

მრავალ რადიოტექნიკურ სისტემაში (რადიოლოკაციური, მრავალარხიანი კავშირის სისტემები) სასარგებლო ინფორმაცია გადაიცემა მართკუთხა იმპულსების მიმდევრობის საშუალებით. გადიან რა რეზონანსულ სიხშირულად გამორჩეულ სისტემებში, რომლებიც შეადგენენ რადიომიმღები მოწყობილობების განუყოფელ ნაწილს, ასეთი იმპულსები რამდენადმე მახინჯდებიან (იხ. ნახ. 10.3).



ნახ. 10.3

იმისათვის, რომ შევაფასოთ ამ არასასურველი დამახინჯებების ხარისხი, ამოვხსნათ გადაცემის სიხშირული კოეფიციენტის $K(j\omega_{\text{მმ}}) = \frac{-SR_{\text{რგბმმ}}}{1 + j\omega_{\text{მმ}}}$ (თავი 8 (2.12)) მქონე ერთკონტურიანი

რეზონანსული გამაძლიერებლის გამოსასვლელზე სიგნალის შესახებ ამოცანა, იმ პირობის დროს, რომ შესასვლელზე მოქმედებს სიგნალი $u_{\text{რგბ}}(t) = U_m \cos(\omega_0 t) \cdot \sigma(t)$.

ვთქვათ გამაძლიერებელი აწყობილია **მატარებელ** სიხშირეზე ე.ი. $\omega_{\text{რგბ}}(t) = \omega_0$. მაშინ, ამ სიხშირის არჩევისას საყრდენ სიხშირედ, კომპლექსური მომვლებისთვის მივიღებთ შემდეგ გამოსახულებას:

$$\tilde{U}_{\text{რგბ}}(t) = U_m \sigma(t). \quad (2.52)$$

(2.49) გადაცემის სიხშირული კოეფიციენტის მქონე წრფივ სისტემაზე (2.52) სიგნალის ზემოქმედების შესახებ ამოცანა განხილული იყო მე-8 თავში RC წრედის გარდამავალი მახასიათებლის შესწავლისას. ამიტომ შეიძლება ვისარგებლოთ ცნობილი შედეგით და ჩავწეროთ

$$\tilde{U}_{\text{გამ}}(t) = -K_{\text{რგბ}} U_m [1 - \exp(-t / \tau_k)] \sigma(t). \quad (2.53)$$

მაშინ გამაძლიერებლის გამოსასვლელი სიგნალი

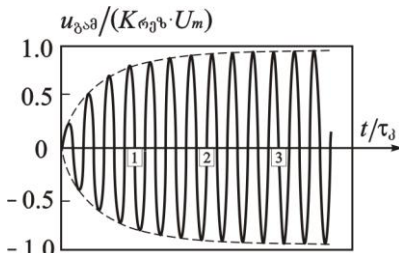
$$u_{\text{გამ}}(t) = -K_{\text{რგბ}} U_m [1 - \exp(-t / \tau_k)] \cos(\omega_0 t) \sigma(t). \quad (2.54)$$

(2.54) ფორმულის მიხედვით აგებული გრაფიკი ნახ. 10.4 ნაჩვენებია სიგნალის სიხშირეზე აწყობილი რეზონანსული გამაძლიერებლის გამოსასვლელზე რხევების დამყარების პროცესი

გამოსასვლელი სიგნალის მიმდინარე ამპლიტუდა აღწევს სტაციონარული მნიშვნელობის $K_{\text{რგბ}} U_m$ 0.9 დონეს **დამყარების დროის** განმავლობაში

$$t_{\text{დამყ}} = 2.303\tau_k = 4.606Q_{\text{მმ}} / \omega_{\text{რგბ}}. \quad (2.55)$$

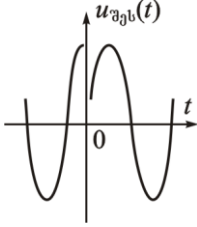
ამგვარად, კონტურის მაღალ ვარგისიანობას მიყვავართ იმპულსის მომვლების არსებით დამახინჯებამდე.



ნახ. 10.4

10.4. ფაზომანიპულირებადი სიგნალების ზემოქმედება რეზონანსულ გამაძლიერებელზე

როგორც უკვე იყო აღნიშნული, თანამედროვე რადიოტექნიკაში ხშირად გამოიყენება სიგნალები, რომლებიც წარმოადგენენ ჰარმონიული რხევების მონაკვეთებს, რომელთა საწყისი ფაზა იცვლება ნახტომებით დროის დისკრეტულ მომენტებში. მსგავს სიგნალებს უწოდებენ **ფაზომანიპულირებულ რხევებს** (იხ. ნახ. 10.5).



ასეთი სიგნალების სიხშირულად-გამორჩევად წრედებში გატარების შესწავლისას განვიხილოთ მოდელური ამოცანა ერთკონტურიან რეზონანსულ გამაძლიერებელზე, რომლის შესასვლელზე მოქმედებს სიგნალი ფაზის ნახტომისებური ცვლილებით φ_0 რადიანზე, როცა $t=0$:

$$u_{\text{ფმ}}(t) = \begin{cases} U_m \cos(\omega_{\text{რგ}} t) & t < 0, \\ U_m \cos(\omega_{\text{რგ}} t + \varphi_0) & t \geq 0. \end{cases} \quad (2.60)$$

ამ სიგნალს პასუხობს კომპლექსური მოძვლება

$$\tilde{U}_{\text{ფმ}}(t) = -U_m [\sigma(-t) + e^{j\varphi_0} \sigma(t)]. \quad (2.61)$$

დუამელის ინტეგრალის მეთოდის გამოყენებით ვპოულობთ გამოსასვლელზე კომპლექსურ მოძვლებს:

$$\tilde{U}_{\text{გამ}}(t) = -\frac{K_{\text{რგ}} U_m}{\tau_{\text{ჯ}}} \int_{-\infty}^t [\sigma(-\tau) + e^{j\varphi_0} \sigma(\tau)] e^{-(t-\tau)/\tau_{\text{ჯ}}} d\tau \quad (2.62)$$

როცა $t < 0$ (2.62) ფორმულიდან გამომდინარეობს, რომ

$$\tilde{U}_{\text{გამ}}(t) = -\frac{K_{\text{რგ}} U_m}{\tau_{\text{ჯ}}} \int_{-\infty}^t e^{-(t-\tau)/\tau_{\text{ჯ}}} d\tau = -K_{\text{რგ}} U_m, \quad (2.63)$$

ე.ი. ფაზის ნახტომის მომენტამდე გამაძლიერებელი იმყოფება ჰარმონიული აღზნების სტაციონარულ რეჟიმში. თუ $t > 0$,

$$\begin{aligned} \text{მაშინ } \tilde{U}_{\text{გამ}}(t) &= -\frac{K_{\text{რგ}} U_m}{\tau_{\text{ჯ}}} \int_{-\infty}^t e^{-(t-\tau)/\tau_{\text{ჯ}}} d\tau - \frac{K_{\text{რგ}} U_m e^{j\varphi_0}}{\tau_{\text{ჯ}}} \int_{-\infty}^t e^{-(t-\tau)/\tau_{\text{ჯ}}} d\tau = \\ &= K_{\text{რგ}} U_m [e^{-t/\tau_{\text{ჯ}}} + e^{j\varphi_0} (1 - e^{-t/\tau_{\text{ჯ}}})]. \end{aligned} \quad (2.64)$$

ავლნიშნოთ, რომ როცა $t=0$ (2.63) და (2.64) გამოსახულებები ვეაძლევენ ერთნაირ შედეგს: $\tilde{U}_{\text{გამ}}(0) = -K_{\text{გვ}} U_m$. თუ $t/\tau_k \ll 1$, მაშინ $\tilde{U}_{\text{გამ}}(t) \approx -K_{\text{გვ}} U_m \exp(j\phi_0)$, ე.ი. გარდამავალი სისტემის დასრულებისას სისტემა გადადის ახალ სტაციონარულ მდგომარეობაში, რომელიც განსხვავდება საწყისისაგან ϕ_0 რადიანის ტოლი ფაზური ძვრით.

კომპლექსური მომენტების მდუღის გამოთვლისას, ვპოულობთ გამოსახულებას გამოსასვლელი სიგნალის მომენტებისათვის როცა $t > 0$:

$$U_{\text{გამ}}(t) = K_{\text{გვ}} U_m \left\{ \left[e^{-t/\tau_d} + (1 - e^{-t/\tau_d}) \cos \phi_0 \right]^2 + (1 - e^{-t/\tau_d})^2 \sin^2 \phi_0 \right\}^{1/2}. \quad (2.65)$$

(აიღება კვადრატული ფესვის დადებითი მნიშვნელობა) პრაქტიკაში ხშირად გამოიყენება სიგნალები 180° -იანი ფაზური მანიპულაციით. ამ კერძო შემთხვევაში

$$U_{\text{გამ}}(t) = K_{\text{გვ}} U_m |2\exp(-t/\tau_d) - 1|.$$

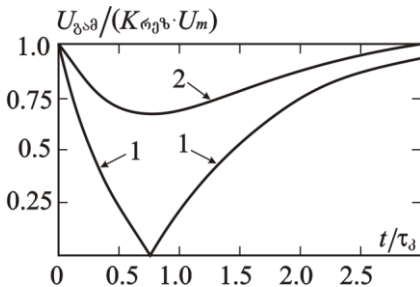
აქ გამოსასვლელი სიგნალის ამპლიტუდა ხდება ნულის ტოლი t_0 დროის მომენტში, რომელიც წარმოადგენს

$$2\exp(-t_0/\tau_d) - 1 = 0,$$

განტოლების ფესვს, საიდანაც $t_0 = 0.693\tau_d$ (იხ. ნახ. 10.6). (2.67)

t_0 დროის მომენტში შესასვლელი სიგნალი საბოლოოდ "აქრობს" რხევებს, რომლებიც არსებობს კონტურში ფაზის ნახტომამდე

ნახ. 10.6 მოყვანილია რეზონანსური მაძლიერების გამოსასვლელი სიგნალები აღკმებული ფაზომანიპულირებადი სიგნალების გავლის შემდეგ. ნაჩვენებია ფიზიკური მომენტების დამოკიდებულება უგანზომილებო პარამეტრზე t/τ_d ფაზური



ორი ძვრის: 1 – როცა $\phi_0 = 180^\circ$; 2 როცა $\phi_0 = 90^\circ$ მნიშვნელობისას.

თუ $\phi_0 = 180^\circ$, მაშინ გამოსასვლელი რხევის ამპლიტუდა დასაწყისში მდორედ

ნახ. 10.6

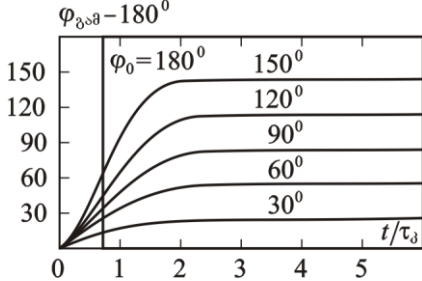
მცირდება ნულამდე, ხოლო

შემდეგ კვლავ იზრდება თავდაპირველ დონემდე კონტურის რამდენიმე რიგის დროის მუდმივას ინტერვალის განმავლობაში.

ფაზომანიპულირებადი სიგნალების მიმდებების პროექტირებისათვის პირველხარისხოვან ინტერესს წარმოადგენს გამაძლიერებლის გამოსასვლელზე მყისიერი ფაზის ცვლილების კანონი. გამოსასვლელი კომპლექსური მომვლების ჩაწერით ფორმით $\varphi_{გამ}(t) \approx \varphi_{გამ}(t) \exp[j\varphi_{გამ}(t)]$, (2.64) ფორმულიდან გვაქვს მყისიერი ფაზის (რად) შემდეგი გამოსახულება:

$$\varphi_{გამ}(t) = \pi + \arg[(1 - e^{-t/\tau_k}) \cos \varphi_0 + e^{-t/\tau_k} + j(1 - e^{-t/\tau_k})^2 \sin \varphi_0]. \quad (2.68)$$

მარჯვენა ნაწილის პირველი შესაკრები გვაძლევს მუდმივ ფაზურ ძვრას, რომელიც არ ასრულებს პრინციპიალურ როლს.



ნახ. 10.7 გამოსახულია მრუდები, რომლებიც აღწერენ გამაძლიერებლის გამოსასვლელზე სიგნალების მყისიერი ფაზის ცვლადი ნაწილის დამოკიდებულებას უგანზომილებო პარამეტრზე t/τ_k .

$\varphi_0 = 180^\circ$ არის გადაგვარებული შემთხვევა; აქ გამოსასვლელის ფაზა იცვლება ნახტომისებურად $t = t_0$ დროის მომენტში [იხ. ფორმულა (2.67)]. φ_0 -ის სხვა მნიშვნელობებისას კი გამოსასვლელზე სიგნალის ფაზა იცვლება დროში უწყვეტად.

გამაძლიერებლის გამოსასვლელზე რხევების ფაზა მყარდება კონტურის დროის მუდმივას რიგის დროის მონაკვეთზე.